


Research Paper

Predicting Climate Change Effect on Probable Maximum Precipitation (PMP) in Iran According to the CMIP6 of IPCC

Pouya Allahverdipour¹ and Yagob Dinpashoh²

1- Ph.D Student, Department of Water Engineering, Faculty of Agriculture, University of Tabriz, Tabriz, Iran

2- Professor, Department of Water Engineering, Faculty of Agriculture, University of Tabriz, Tabriz, Iran,
(Corresponding author: Dinpazhoh@Tabrizu.ac.ir)

Received: 28 August, 2025

Revised: 10 November, 2025

Accepted: 08 December, 2025

Extended Abstract

Background: Global warming has increased the frequency of extreme precipitation events across the globe during the past decades. Information about precipitation and its forecast in various hydrological applications is important in terms of economic studies and risk assessment, such as estimating the maximum probable flood and engineering and management of water resources. One of the important parameters that changes with climate change is probable maximum precipitation (PMP), defined as the maximum probable precipitation depth in a certain duration, such as 24 hours, at a single site. There is no comprehensive study on the impact of climate change on PMP in Iran. This study fills the mentioned gap in the country by generating the precipitation depths for future periods in Iran. As a result of climate change, PMP and the negative consequences of such precipitation are expected to increase until the end of the century. As a result, studying the effect of climate change on extreme precipitation and PMP of different stations in Iran can be very important and practical.

Methods: In this study, the effects of future climate changes on PMP values in different climates in Iran were investigated using two distinct scenarios, namely SSP1-2.6 and SSP5-8.5 (optimistic and pessimistic scenarios, respectively), and the HadGEM3-GC31-LL model from the output of the latest report of the Intergovernmental Panel on Climate Change (IPCC), i.e., CMIP6 report. The output of this model and scenarios was downscaled using the LARS-WG model. The statistical measures of the correlation coefficient (r) and Root Mean Square Error (RMSE) were used to evaluate the performance of the LARS-WG model. Two statistical methods, generalized Hershfield and Hershfield-DESA and 30-year data (1993-2022) related to 13 synoptic stations located in different climates across Iran, were used to estimate the PMP values.

Results: The results of the simulation of precipitation and temperature in the base period (1993-2022) using the Lars-WG model indicate that the correlation coefficient (r) for precipitation ranges between 0.95 and 0.99, and for minimum and maximum temperatures is equal to 0.99 in all 13 synoptic stations in Iran. The range of RMSE for precipitation is between 1.22 and 16.29 mm, and for minimum and maximum temperatures is in the range of 0.18-0.42 and 0.14-0.32 °C, respectively. Therefore, the Lars-WG model has an acceptable performance in simulating the climate variables in the base period at all stations. The effect of climate change on the average annual precipitation is increasing in all regions of Iran, and the highest range of increase in the next 20-year period (2021-2040) is at Isfahan with a +61.18% increase compared to the base period and under the pessimistic scenario (SSP5-8.5). The maximum annual 24-hour precipitation will increase in most areas with arid climates and decrease in per-humid climates (Bandar Anzali and Astara). The maximum annual 24-hour precipitation of the stations in the base period ranges from 25 mm in Tabas to 214 mm in Bandar Anzali. In the future period, the annual maximum 24-hour precipitation will increase in Isfahan, Tabas, Kashan, Birjand, Zahedan, Ardabil, and Yasuj under both scenarios, and in Khorramabad under the SSP5-8.5 scenario. A decrease in the maximum annual 24-hour precipitation is predicted in Tehran, Mashhad, Tabriz, BandareAnzali, and Astara under both scenarios and in Khorramabad under the SSP1-2.6 scenario. The largest increase and decrease in maximum 24-hour precipitation is predicted with a +55.70% increase in Yasouj and a -26.92% decrease in Bandar Anzali, respectively, compared to the base period. The highest ratio of PMP to maximum annual 24-hour precipitation is estimated in arid climates. According to the Desa method, the highest ratio of PMP to the maximum 24-hour precipitation in the future will be at Zahedan under both scenarios. The biggest increase in this ratio will be in Mashhad. According to the generalized Hershfield method, the value of PMP in all stations has



been estimated many times higher than that of the modified Desa method. According to the modification of the frequency factor (K_m) in the Desa method, the estimated values seem more expected according to this method. The amount of PMP will increase in most synoptic stations in Iran. The highest PMP increase in Zahedan under the SSP1-2.6 scenario and decrease under both scenarios are predicted only in Bandar Anzali. The percentage of PMP changes in the future will be higher in most arid and semi-arid climates than in humid climates.

Conclusion: The general results of this study indicate that the average annual precipitation will increase in all climates of Iran under the effect of climate change. In addition, the maximum annual 24-hour precipitation will increase in most regions with arid climates. This amount will decrease in per-humid climates. The generalized Hershfield method overestimates PMP values, but the values estimated using the Hershfield-DESA method are more expected. In general, the PMP will increase in most synoptic stations in Iran in the future. The percentage of PMP changes in the future will be higher in arid and semi-arid climates than in humid climates. Therefore, it is necessary to pay attention to the areas prone to adverse consequences from probable floods resulting from such precipitation. The results of the present research can be used by managers and decision-makers in engineering and water resources management issues to anticipate the effects of climate change on extreme precipitation and maximum probable precipitation in different cities and regions of Iran.


Keywords: Iran, Climate Change, Maximum Probable Precipitation, Hershfield Methode, CMIP6

How to Cite This Article: Allahverdipour, P., & Dinpashoh, Y. (2026). Predicting Climate Change Effect on Probable Maximum Precipitation (PMP) in Iran According to the CMIP6 of IPCC. *J Watershed Manage Res*, 17(1), 94-107. DOI: 10.61882/jwmr.2026.1299



مقاله پژوهشی

پیش‌بینی تأثیر تغییر اقلیم بر حداکثر بارش محتمل (PMP) ایران مطابق گزارش ششم IPCC

پویا الله ویردی پور^۱ و یعقوب دین‌پژوه^۲ ۱- دانشجوی دکتری، گروه مهندسی آب، دانشکده کشاورزی، دانشگاه تبریز، تبریز، ایران
۲- استاد، گروه مهندسی آب، دانشکده کشاورزی، دانشگاه تبریز، تبریز، ایران، (نویسنده مسوول: dipazhoh@tabrizu.ac.ir)

تاریخ پذیرش: ۱۴۰۴/۰۹/۱۷

تاریخ ویرایش: ۱۴۰۴/۰۸/۱۹
صفحه: ۹۴ تا ۱۰۷

تاریخ دریافت: ۱۴۰۴/۰۶/۰۶

چکیده مبسوط

مقدمه و هدف: با توجه به گرمایش جهانی، رویدادهای مربوط به بارش‌های سیل‌آسا در سراسر جهان در دهه‌های گذشته افزایش یافته‌اند. اطلاعات مربوط به بارش و پیش‌بینی آن در کاربردهای مختلف هیدرولوژیکی از نظر مطالعات اقتصادی و ارزیابی ریسک مانند برآورد حداکثر سیلاب محتمل و مدیریت منابع آب اهمیت دارد. یکی از پارامترهای مهم مرتبط با تغییر اقلیم، حداکثر بارش محتمل (PMP) است. PMP به‌عنوان حداکثر عمق بارش محتمل در مدت‌زمان مشخص مانند ۲۴ ساعت و در یک مکان معین تعریف می‌شود. مطالعه جامعی در مورد تأثیر تغییر اقلیم بر PMP در ایران انجام نشده است. این مطالعه با پیش‌بینی مقدار بارش برای دوره آبی در ایران، شکاف مذکور در مطالعات این موضوع در کشور را پر می‌کند. در نتیجه تغییرات اقلیمی، انتظار می‌رود که PMP و پیامدهای منفی چنین بارشی تا پایان قرن افزایش یابد. در نتیجه، مطالعه اثر تغییر اقلیم بر بارش شدید و PMP ایستگاه‌های مختلف ایران می‌تواند بسیار مهم و کاربردی باشد.

مواد و روش‌ها: در این مطالعه، با هدف بررسی اثرات تغییرات اقلیمی آینده بر مقادیر PMP در اقلیم‌های مختلف ایران، از دو سناریو مختلف به نام‌های SSP1-2.6 و SSP5-8.5 (به ترتیب سناریوهای خوش‌بینانه و بدبینانه) و مدل HadGEM3-GC31-LL از خروجی آخرین گزارش هیئت بین‌دولتی تغییر اقلیم (IPCC) یعنی گزارش CMIP6 استفاده شد. برای ریزمقیاس‌نمایی خروجی این مدل و سناریوها، از مدل LARS-WG و برای ارزیابی عملکرد مدل LARS-WG از معیارهای آماری ضریب همبستگی (r) و جذر میانگین مربعات خطا (RMSE) استفاده شد. برای برآورد مقادیر PMP از دو روش آماری هرشفیلد تمعیم‌یافته و هرشفیلد - دسا و داده‌های ۳۰ ساله (۲۰۲۲-۱۹۹۳) مربوط به ۱۳ ایستگاه همدید واقع در اقلیم‌های مختلف در سراسر ایران استفاده شد.

یافته‌ها: نتایج شبیه‌سازی بارش و دمای دوره پایه (۲۰۲۲-۱۹۹۳) با استفاده از مدل Lars-WG حاکی از آن هستند که در کل ۱۳ ایستگاه همدید ایران، محدوده معیار r برای بارش بین ۰/۹۵-۰/۹۹ و برای دماهای کمینه و بیشینه برابر با ۰/۹۹ است. محدوده معیار RMSE نیز برای بارش بین ۱/۲۲ و ۱۶/۲۹ میلی‌متر و برای دماهای کمینه و بیشینه به ترتیب، در دامنه ۰/۴۲-۰/۱۸ و ۰/۳۲-۰/۱۴ درجه سانتی‌گراد است. بنابر این، مدل Lars-WG در شبیه‌سازی متغیرهای اقلیمی دوره پایه همه ایستگاه‌ها عملکرد قابل قبولی دارد. تأثیر تغییر اقلیم بر میانگین بارش سالانه در همه اقلیم‌های ایران افزایشی است و بیشترین درصد افزایش آن در دوره ۲۰ ساله آبی (۲۰۴۰-۲۰۲۱) نسبت به دوره پایه، در اصفهان با ۶۱/۱۸ درصد افزایش نسبت به دوره پایه و تحت سناریو بدبینانه (SSP5-8.5) بیش‌بینی می‌شود. حداکثر بارش ۲۴ ساعته سالانه در اکثر مناطق با اقلیم خشک افزایش و در اقلیم بسیار مرطوب (بندر انزلی و آستارا) کاهش خواهد یافت. حداکثر بارش ۲۴ ساعته سالانه ایستگاه‌ها در دوره پایه از ۲۵ میلی‌متر در طبرستان تا ۲۱۴ میلی‌متر در بندر انزلی متغیر است. در دوره آبی، حداکثر بارش ۲۴ ساعته سالانه در اصفهان، طبرستان، کاشان، بیرجند، زاهدان، اردبیل و یاسوج تحت هر دو سناریو و در خرم‌آباد تحت سناریو SSP5-8.5 افزایش خواهد یافت. در تهران، مشهد، تبریز، بندر انزلی و آستارا تحت هر دو سناریو و در خرم‌آباد تحت سناریو SSP1-2.6 کاهش حداکثر بارش ۲۴ ساعته سالانه پیش‌بینی می‌شود. بیشترین افزایش و کاهش حداکثر بارش ۲۴ ساعته نسبت به دوره پایه، به ترتیب با ۵۵/۷۰+ درصد افزایش در یاسوج و ۲۶/۹۲- درصد کاهش در بندر انزلی پیش‌بینی می‌شود. بیشترین نسبت PMP به حداکثر بارش ۲۴ ساعته سالانه در اقلیم‌های خشک برآورد می‌شود، به‌طوری‌که طبق روش دسا، بیشترین نسبت PMP به حداکثر بارش ۲۴ ساعته در آینده و تحت هر دو سناریو، در زاهدان خواهد بود. بیشترین افزایش این نسبت نیز در مشهد اتفاق خواهد افتاد. مقدار PMP طبق روش هرشفیلد تمعیم‌یافته در همه ایستگاه‌ها به‌مراتب بیشتر از روش اصلاحی دسا برآورد شده است. ولی با توجه به اصلاح عامل فرکانس (K_m) در روش دسا، مقادیر برآورد شده طبق این روش بیشتر مورد انتظار به نظر می‌رسد. مقدار PMP در اکثر ایستگاه‌های همدید ایران افزایش خواهد یافت. بیشترین افزایش PMP در زاهدان تحت سناریو SSP1-2.6 و کاهش تحت هر دو سناریو مورد بررسی، فقط در بندر انزلی پیش‌بینی می‌شود. درصد تغییرات PMP در آینده در اکثر اقلیم‌های خشک و نیمه‌خشک بیشتر از اقلیم مرطوب خواهد بود.

نتیجه‌گیری: نتایج کلی این مطالعه حاکی از آن هستند که تحت تأثیر تغییر اقلیم، میانگین بارش سالانه در همه اقلیم‌های ایران افزایش خواهد یافت. افزون بر این، حداکثر بارش ۲۴ ساعته سالانه در اکثر مناطق با اقلیم خشک افزایش خواهد یافت. این مقدار در اقلیم بسیار مرطوب کاهش خواهد بود. روش هرشفیلد تمعیم‌یافته در برآورد مقادیر PMP بیش‌برآوردی دارد، ولی مقادیر برآوردشده با استفاده از روش هرشفیلد - دسا مورد انتظار هستند. به‌طور کلی، مقدار PMP در اکثر ایستگاه‌های همدید ایران در آینده افزایش خواهد یافت. درصد تغییرات مقدار PMP در آینده در اقلیم‌های خشک و نیمه‌خشک بیشتر از اقلیم مرطوب خواهد بود. بنابر این، توجه به مناطق مستعد پیامدهای ناگوار در برابر سیلاب‌های محتمل حاصل از بارش‌های این‌چنینی ضروری است. نتایج تحقیق حاضر می‌تواند در موضوعات مهندسی و مدیریت منابع آب، مورد استفاده مدیران و تصمیم‌گیران در جهت پیش‌آگاهی از تأثیرات تغییر اقلیم بر بارش‌های شدید و حداکثر بارش محتمل در شهرها و مناطق مختلف ایران قرار گیرد.

واژه‌های کلیدی: ایران، تغییر اقلیم، حداکثر بارش محتمل، روش هرشفیلد، گزارش ششم

مقدمه

در این زمینه انجام شده‌اند (Lin et al., 2018; Kim et al., 2022; Allahverdipour et al., 2024). یکی از پارامترهای مهم مرتبط با تغییر اقلیم، حداکثر بارش محتمل^۱ (PMP) است.

پیش‌بینی متغیرهای اقلیمی و تأثیر تغییر اقلیم در آینده همواره مورد توجه محققین مختلف است و تحقیقات بسیاری

¹ Probable Maximum Precipitation

هرشفیلد و هرشفیلد تعمیم‌یافته انجام شد. نتایج روش هرشفیلد با ۸۵۰-۲۸۰ میلی‌متر، بیش از دو و نیم برابر روش تعمیم‌یافته میلی‌متر بود (Bakhtiari et al., 2017). برآورد PMP در بوشهر با استفاده از روش‌های آماری هرشفیلد و هرشفیلد تعمیم‌یافته و روش فیزیکی (همدیدی) در دوره ۲۰۱۸-۱۹۶۸ انجام شد. مطابق نتایج، مقادیر PMP در روش‌های هرشفیلد و هرشفیلد تعمیم‌یافته به ترتیب ۶۶۰/۵ و ۱۸۱/۴ میلی‌متر و در روش فیزیکی ۱۳۹/۹ میلی‌متر برآورد شد (Farmanara & Fattahi, 2020). در تحقیقی، فتاحی و حبیبی (Habibi, 2022) از روش هرشفیلد و هرشفیلد - دسا برای برآورد PMP ایران در دوره ۲۰۲۱-۱۹۸۱ استفاده کردند. بیشترین مقادیر PMP بین ۷۰۰-۱۱۰۰ میلی‌متر در شمال و در سایر مناطق بین ۷۰۰-۱۱۰ میلی‌متر بود. در تحقیقی، مقادیر PMP حوضه آبخیز بختگان با استفاده از دو روش آماری هرشفیلد و هرشفیلد تعمیم‌یافته برآورد شد. مطابق نتایج، مقدار PMP در این منطقه با روش هرشفیلد ۷۹۱/۴-۳۲۶/۷ میلی‌متر و طبق روش هرشفیلد تعمیم‌یافته در محدوده ۱۸۷/۶-۱۲۳/۲ میلی‌متر برآورد شد (Akbari et al., 2023).

اثر تغییرات اقلیمی بر PMP در ایران به‌طور محدود مطالعه شده است. مثلاً افروز و همکاران (Afrooz et al., 2015) تأثیر تغییر اقلیم بر PMP را در حوضه رودخانه چنار راهدار شیراز پیش‌بینی کردند. افزایش مقادیر PMP در دوره ۲۰۴۰-۲۰۱۱ نسبت به دوره پایه (۲۰۰۰-۱۹۷۱) و تحت سناریوهای مختلف، بین ۱۸/۲-۲۷/۳ درصد پیش‌بینی شد. افضلی - گروه و همکاران (Afzali-Gorouh et al., 2022) تأثیر تغییر اقلیم بر PMP را در بخشی از حوضه قره‌سو با استفاده از CMIP5 بررسی کردند. مطابق با نتایج، در دوره پایه (۲۰۱۷-۱۹۸۸) مقدار PMP برابر با ۱۴۳ میلی‌متر و مقدار آن تحت سناریوهای RCP2.6، RCP4.5 و RCP8.5 به ترتیب ۹۸، ۱۰۵ و ۱۰۹ میلی‌متر برای آینده نزدیک (۲۰۴۸-۲۰۱۹) و ۱۲۹، ۱۲۲ و ۱۲۶ میلی‌متر برای آینده دور (۲۰۷۸-۲۰۴۹) پیش‌بینی شد. منجزی و همکاران (Monjezi et al., 2023) برای برآورد مقدار PMP در حوضه آبریز پارسیان در استان فارس، از دو روش هرشفیلد و هرشفیلد - دسا استفاده کردند. مقدار PMP تحت سناریوهای RCP4.5 و RCP8.5 در مقایسه با دوره پایه (۲۰۱۰-۱۹۸۰) در روش هرشفیلد - دسا کاهشی و در روش هرشفیلد افزایشی پیش‌بینی شد.

جدیدترین گزارش هیئت بین‌دولتی IPCC^۱ شامل مدل‌ها و سناریوهای جدیدی است که شرایط اقلیمی متفاوتی را نسبت به گزارش‌های قبلی پیش‌بینی می‌کند. بنابر این، هدف این مطالعه پیش‌بینی و تحلیل اثرات تغییر اقلیم بر مقادیر PMP ایستگاه‌های همدید مختلف ایران با استفاده از گزارش CMIP6^۲ شامل سناریوهای SSP1-2.6 و SSP5-8.5 و مدل HadGEM3-GC31-LL است.

مواد و روش‌ها منطقه مورد مطالعه

هرشفیلد از پیش‌گامان کاربرد مفهوم PMP در هیدرولوژی است (Hershfield, 1961). بعدها بتلاهمی (Bethlahmy, 1984) و الیاسون (Eliason, 1997) نیز روی PMP کار کردند. در بنگلادش، میانگین PMP در کل کشور بیش از ۴۰۰ میلی‌متر (Bari, 2021) و در بریتانیا از ۶۰۰ میلی‌متر در مناطق مرتفع تا ۴۰۰ میلی‌متر در شرق متغیر است. برای ایرلند مقدار آن در نواحی مرتفع ۵۵۰ میلی‌متر و در جنوب غرب ۶۰۰ میلی‌متر و در مناطق پست آن ۳۵۰ میلی‌متر گزارش شد (Clark & Dent, 2021).

اثر تغییر اقلیم بر تغییرات PMP در کشورهای مختلف مطالعه شده است. مثلاً کانکل و همکاران (Kunkel et al., 2013) در امریکا، حسین و همکاران (Hussain et al., 2015) در مالزی، لی و همکاران (Lee et al., 2016) در کره جنوبی، چن و همکاران (Chen et al., 2017) در منطقه شمال غربی اقیانوس آرام در ایالات متحده، راستوگی و همکاران (Rastogi et al., 2017) در حوضه رودخانه آلاباما کوزا - تالاپوسا در جنوب شرقی ایالات متحده و سرکار و مایتی (Sarkar & Maity, 2020) در هند تحقیقاتی را در این زمینه انجام دادند. در ایالات متحده، افزایش ۲۰-۳۰ درصد در مقادیر PMP در دوره آینده (۲۰۷۱-۲۰۱۰) نسبت به دوره پایه (۲۰۰۰-۱۹۷۱) گزارش شد (Kunkel et al., 2013). در کره جنوبی، با استفاده از CMIP5 مقدار PMP در دوره ۲۰۸۱-۲۱۰۰ افزایشی پیش‌بینی شد، به‌طوری‌که افزایش ۳۰ درصد تحت سناریو RCP8.5 نسبت به دوره پایه (۲۰۰۵-۱۹۸۱) پیش‌بینی شد (Lee et al., 2016). افزایش PMP در حوضه‌ای واقع در جنوب شرقی ایالات متحده معادل با ۲۰ و ۴۴ درصد به ترتیب، در دوره‌های ۲۰۵۰-۲۰۲۱ و ۲۰۷۱-۲۱۰۰ نسبت به دوره تاریخی

۲۰۱۰-۱۹۸۱ پیش‌بینی شد (Rastogi et al., 2017). در شمال شرقی ویتنام، افزایش مقدار PMP در دهه‌های ۲۰۵۰ و ۲۰۸۰ تحت سناریو RCP8.5 پیش‌بینی شد (Thuy et al., 2019). در هند، افزایش مقادیر PMP تحت دو سناریو RCP4.5 و RCP8.5 در آینده بین ۲۰-۳۵ درصد پیش‌بینی شد (Sarkar & Maity, 2020). در استرالیا، مقدار PMP تا انتهای قرن تحت سناریوهای SSP1-2.6 و SSP5-8.5 به ترتیب، ۱۳ و ۳۳ درصد افزایشی برآورد شد (Visser et al., 2022). در هنگ‌کنگ، افزایش مقدار PMP از ۱۳۱۸ میلی‌متر در دوره پایه، به ۱۷۲۴، ۱۴۳۵ و ۱۷۸۸ میلی‌متر به ترتیب، تحت سناریوهای SSP1-2.6، SSP3-7.0 و SSP5-8.5 پیش‌بینی شد (Chan et al., 2024).

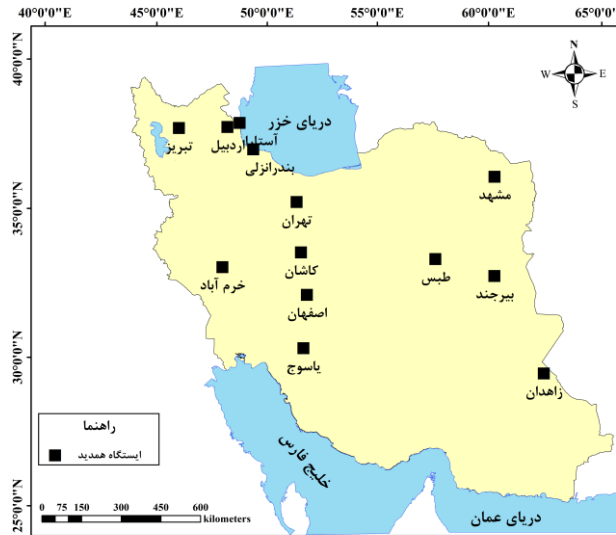
در ایران نیز مطالعاتی در زمینه PMP انجام شده‌اند. مطابق نتایج بررسی تغییرات PMP در حوضه قره‌قوم با روش هرشفیلد، بیشترین مقدار آن بین ۱۴۰-۸۰ میلی‌متر در غرب این حوضه برآورد شد (Shafiee & Ghahraman, 2009). نتایج برآورد PMP در حوضه آبریز اترک، حاکی از برآورد بسیار زیاد و غیرمنطقی مقدار آن در روش هرشفیلد و برآورد منطقی‌تر آن در روش هرشفیلد تعمیم‌یافته بود (Ghahraman et al., 2011). برآورد PMP در استان فارس با دو روش آماری

² Coupled Model Intercomparison Project Phase 6

¹ Intergovernmental Panel on Climate Change

زمانی ۳۰ ساله (۲۰۲۲-۱۹۹۳) استفاده شد. داده‌ها از سازمان هواشناسی کشور اخذ شد. شکل ۱ موقعیت و پراکندگی ایستگاه‌های همدید منتخب را نشان می‌دهد.

ایران در عرض ۲۵-۴۰ درجه شمالی و طول ۴۵-۶۳ درجه شرقی گسترده شده است و مساحتی در حدود ۱/۶۴۸ میلیون کیلومتر مربع دارد. در این مطالعه از داده‌های متغیرهای اقلیمی ۱۳ ایستگاه همدید ایران (با اقلیم‌های متنوع) در یک دوره



شکل ۱- موقعیت جغرافیایی ایستگاه‌های همدید منتخب در ایران
Figure 1. Geographical location of the selected synoptic stations in Iran

گمشده (و پرت) از مهم‌ترین بخش‌های یک پژوهش علمی است. بسته به نوع داده‌ها (دما، بارش و غیره)، روش‌های مختلفی بدین منظور ارائه شده است (Hasanpour Kashani & Dinpashoh, 2012). داده‌ها ابتدا مورد بررسی آماری و صحت‌سنجی قرار گرفته و سپس نسبت به تشخیص داده‌های پرت و بازسازی داده‌های گمشده اقدام شد. جدول ۱ موقعیت جغرافیایی ایستگاه‌های منتخب، مشخصات آماری و نوع اقلیم ایستگاه‌های همدید ایران را نشان می‌دهد.

در این تحقیق، از داده‌های روزانه بارش (میلی‌متر)، میانگین دمای کمینه (درجه سانتی‌گراد)، میانگین دمای بیشینه (درجه سانتی‌گراد)، میانگین دمای متوسط (درجه سانتی‌گراد) و ساعات آفتابی (ساعت) مربوط به ۱۳ ایستگاه همدید ایران استفاده شد. بی‌تردید، مقدمه هر مطالعه علمی که در آن از داده‌های هواشناسی استفاده می‌شود، بررسی کیفی و صحت‌سنجی داده‌ها است. بدون اطمینان از صحت و کیفیت داده‌ها، نمی‌توان از آن‌ها برای استخراج نتایج بعدی استفاده کرد (Allahverdipour & Sattari, 2023). بازسازی داده‌های

جدول ۱- موقعیت جغرافیایی، مشخصات آماری و نوع اقلیم ایستگاه‌های همدید ایران
Table 1. Geographical locations, statistical characteristics, and climate types of the synoptic stations in Iran

نوع اقلیم Climate type	میانگین دمای سالانه (°C) Average annual temperature (°C)	بارش سالانه (mm) Annual precipitation (mm)	ارتفاع (m) Altitude (m)	عرض جغرافیایی (درجه) Latitude (degrees)	طول جغرافیایی (درجه) Longitude (degrees)	ایستگاه همدید Synoptic station
بسیار مرطوب (Per-humid)	15.8	1380	-21.10	38.37	48.85	آستارا (Astara)
بسیار مرطوب (Per-humid)	17.04	1740.20	-23.60	37.48	49.46	بندر انزلی (Bandar Anzali)
مرطوب (Humid)	15.41	778.63	1816.30	30.70	51.56	یاسوج (Yasuj)
نیمه‌خشک (Semi-Arid)	9.98	271.85	1335.20	38.22	48.33	اردبیل (Ardabil)
نیمه‌خشک (Semi-Arid)	17.27	476.91	1147.80	33.44	48.28	خرم‌آباد (Khorramabad)
نیمه‌خشک (Semi-Arid)	13.61	255.58	1361.00	38.12	46.24	تبریز (Tabriz)
خشک (Arid)	15.97	231.57	999.20	36.24	59.63	مشهد (Mashhad)
خشک (Arid)	19.21	71.62	1370.00	29.47	60.90	زاهدان (Zahedan)
خشک (Arid)	16.8	143	1491.00	32.89	59.28	بیرجند (Birjand)
خشک (Arid)	19.59	126.42	955.00	33.97	51.48	کاشان (Kashan)
خشک (Arid)	23.19	76.50	711.00	33.60	56.95	طیس (Tabas)
خشک (Arid)	17.1	132	1550.40	32.52	51.71	اصفهان (Esfahan)
خشک (Arid)	18.5	233	1191.00	35.69	51.31	تهران (Tehran)

گزارش ششم (CMIP6) هیئت بین دولتی تغییر اقلیم
مدل های GCM وضعیت آبی اقلیم مناطق مختلف زمین را

در مقیاس جهانی و قاره ای ارائه می دهند (Wilby & Harris, 2006). این مدل ها با هدف بررسی و ارزیابی نحوه تغییر متغیرهای اقلیمی در دوره های زمانی گذشته، حال و آینده و با توجه به سناریوهای مختلف تهیه شده اند. IPCC از سال ۱۹۹۰ هر چند سال یک بار گزارش های ارزیابی تغییر اقلیم را منتشر می کند. آخرین گزارش IPCC که در قالب گزارش ششم (CMIP6) تدوین شده است، شامل مدل های مختلف و سناریوهای انتشار گازهای گلخانه ای متفاوت برای آینده است. مثلاً در سناریوی خوش بینانه (SSP2.6) میزان گرمایش زمین تا حدود ۲ درجه سانتی گراد در نظر گرفته شده است. مدل های گردش عمومی ارائه شده در گزارش ششم، شکل های بهبود یافته گزارش های قبلی هستند. از مزایای مدل ها و سناریوهای گزارش ششم نسبت به گزارش پنجم، می توان به افزایش تعداد لایه های عمودی برای شبیه سازی دقیق تر وضعیت لایه استراتوسفر اشاره کرد (Frame et al., 2018).

یکی از مشکلات کاربرد مدل های GCM، ابعاد سلولی آنها است که کاهش دقت پیش بینی ها و تحلیل های مکانی را به دنبال دارد. بنابراین، در مطالعه تغییرات اقلیمی از مدل های ریزمقیاس نمایی مانند مدل Lars-WG استفاده می شود. این مدل با دریافت اطلاعات آب و هوای گذشته، مقادیر روزانه دمای کمینه، دمای بیشینه و بارش ایستگاه در آینده را تولید می کند (Racsco et al., 1991; Semenov et al., 1998).

در این تحقیق، از خروجی گزارش CMIP6 شامل مدل HadGEM3-GC31-LL تحت دو سناریو SSP1-2.6 و SSP5-8.5 (به ترتیب، سناریوهای خوش بینانه و بدبینانه) برای تولید داده های اقلیمی در آینده استفاده شد.

روش آماری هرشفیلد تعمیم یافته برای برآورد PMP

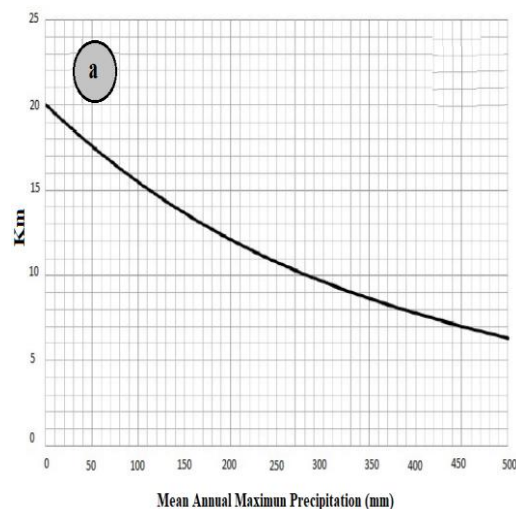
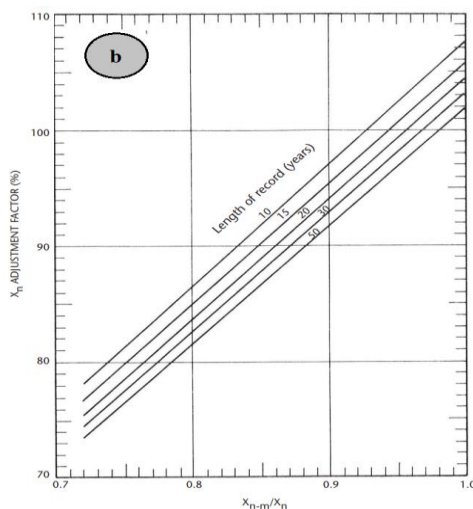
متداول ترین روش آماری که برای محاسبه حداکثر بارش محتمل (PMP) به کار می رود، روش پیشنهادی هرشفیلد

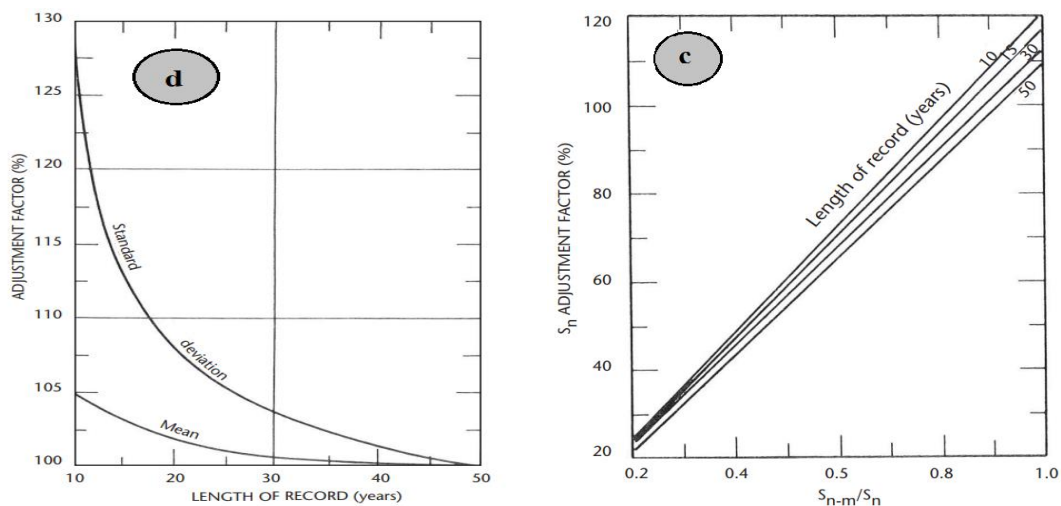
(Hershfield, 1961) است. این روش بر اساس مدل فراوانی چاو (Chow, 1951) به شرح رابطه ۱ در نظر گرفته شد.
$$X_t = \bar{X} + K \cdot \sigma_n \quad (1)$$
 که در آن، X_t حداکثر عمق بارش با دوام معین و با دوره بازگشت t سال است و \bar{X} و σ_n به ترتیب میانگین و انحراف معیار سری زمانی بارش های با دوام مذکور در سال های مختلف مربوط به دوره آماری هستند. ضمناً K عامل فراوانی است. در تحقیق هرشفیلد (Hershfield, 1961) معلوم شد که اگر ۱۵ داده ها افزوده شود، PMP حاصل می شود (رابطه ۲).

$$PMP = \bar{X} + K_m \sigma_n \quad (2)$$
 که در آن، PMP حداکثر بارش محتمل، و \bar{X} و σ_n به ترتیب میانگین و انحراف معیار سری حداکثر بارش های سالانه استفاده شده در دوره مورد مطالعه هستند. K_m نیز عامل فراوانی برای مقادیر حداکثر بارش روزانه مشاهده شده در طی سال، برابر با ۱۵ است.

در مطالعات بعدی مشخص شد که استفاده از عدد ثابت ۱۵ برای K_m صحیح نیست. هرشفیلد نموداری تهیه کرد که K_m با توجه به میانگین حداکثر بارش سالانه تعیین شود. سازمان جهانی هواشناسی (WMO, 1986) یافته های هرشفیلد را به صورت یک دستور کار به شرح زیر منتشر کرد:

۱. مقدار K_m با استفاده از نمودار و با توجه به مقدار \bar{X}_n به دست می آید (شکل ۲-ا).
۲. بیشترین مقدار مشاهده شده از سری حداکثر بارش های با دوام معین در طی دوره آماری حذف می شود و \bar{X}_{n-1} و σ_{n-1} که به ترتیب میانگین و انحراف معیار داده ها پس از حذف بزرگ ترین مشاهده هستند، محاسبه می شود.
۳. با توجه به \bar{X}_n ، \bar{X}_{n-1} و σ_{n-1} ، ضرایب تصحیح \bar{X}_n و σ_n از شکل های ۲-ب و ۲-ج به دست می آیند.
۴. با توجه به طول دوره آماری نیز، ضرایب تصحیح دیگری برای \bar{X}_n و σ_n از شکل ۲-د به دست می آیند.
۵. مقادیر \bar{X}_n و σ_n تصحیح و مقدار PMP از رابطه (۲) محاسبه می شود.





شکل ۲- نمودارهای مورد استفاده در محاسبه PMP. a- نمودار K_m تابعی از متوسط حداکثر بارش ۲۴ ساعته سالانه، b- ضریب تصحیح میانگین سری سالانه حداکثر بارش ۲۴ ساعته مشاهداتی، c- ضریب تصحیح انحراف معیار سری سالانه حداکثر بارش ۲۴ ساعته مشاهداتی و d- ضریب تصحیح میانگین و انحراف معیار سری سالانه حداکثر بارش ۲۴ ساعته مشاهداتی تابعی از طول دوره آماری (Hershfield, 1961)

Figure 2. Charts used in PMP calculation. a- The chart of K_m as a function of the average annual maximum 24-hour precipitation, b- the correction factor for the average annual series of maximum 24-hour precipitation observations, c- the correction factor for the standard deviation of the annual series of maximum 24-hour precipitation observations, and d- the correction factor of the mean and standard deviation of the annual series of maximum 24-hour precipitation observations as a function of the length of the statistical period (Hershfield, 1961)

در روابط ۴ و ۵، مقدار مشاهداتی (واقعی) i ام، $P(i)$ مقدار شبیه‌سازی شده i ام، \bar{O} میانگین مقادیر مشاهداتی، \bar{P} میانگین مقادیر شبیه‌سازی شده و N تعداد مشاهدات است. هر چه r بیشتر و RMSE کمتر باشد، دقت مدل بیشتر و عملکرد آن بهتر است.

نتایج و بحث

ارزیابی مدل LARS-WG در شبیه‌سازی متغیرهای اقلیمی دوره پایه

نتایج ارزیابی عملکرد مدل Lars-WG در شبیه‌سازی متغیرهای اقلیمی ایستگاه‌های منتخب در دوره پایه در جدول ۲ ارائه شده‌اند. مطابق این جدول، در کل ۱۳ ایستگاه منتخب، محدوده معیار r برای بارش بین ۰/۹۹-۰/۹۵ و برای دماهای کمینه و بیشینه برابر با ۰/۹۹ است. محدوده معیار RMSE نیز برای بارش بین ۱/۲۲ و ۱۶/۲۹ میلی‌متر و برای دماهای کمینه و بیشینه به ترتیب در دامنه ۰/۴۲-۰/۱۸ و ۰/۳۲-۰/۱۴ درجه سانتی‌گراد است. مشاهده می‌شود که شبیه‌سازی مقادیر بارش، با دقت کمتر و خطای بیشتری همراه است. این امر می‌تواند به دلیل پراکندگی بیشتر داده‌های بارش نسبت به داده‌های دما باشد. در کل، مدل Lars-WG در شبیه‌سازی متغیرهای اقلیمی دوره پایه همه ایستگاه‌ها عملکرد قابل قبولی دارد.

روش اصلاحی دسا برای برآورد PMP

برای محاسبه PMP موارد دیگری توسط دسا و همکاران (Desa et al., 2021) اضافه شدند. آنها برای اصلاح رابطه پیشنهادی هرشفیلد، ضریب K_m را مطابق رابطه ۳ ارائه کردند.

$$K_m = \frac{X_1 - \bar{X}_{n-1}}{\sigma_{n-1}} \quad (3)$$

که در آن، X_1 بزرگترین مشاهده در سری حداکثر بارش‌های با دوام معین در یک دوره آماری است و \bar{X}_{n-1} و σ_{n-1} به ترتیب میانگین و انحراف معیار سری پس از حذف بزرگترین مشاهده هستند.

در این مطالعه از دو روش هرشفیلد تعمیم‌یافته و هرشفیلد-دسا برای محاسبه PMP در دوره پایه و آینده استفاده شد.

معیارهای ارزیابی

برای بررسی عملکرد مدل Lars-WG در شبیه‌سازی متغیرهای اقلیمی ایستگاه‌های منتخب در دوره پایه، از معیارهای آماری ضریب همبستگی (r) و جذر میانگین مربعات خطاها (RMSE) به ترتیب از روابط ۴ و ۵ استفاده شد.

$$r = \frac{\sum_{i=1}^N (O_i - \bar{O})(P_i - \bar{P})}{\sqrt{\sum_{i=1}^N (O_i - \bar{O})^2 * \sum_{i=1}^N (P_i - \bar{P})^2}} \quad (4)$$

$$RMSE = \sqrt{\frac{\sum_{i=1}^N (P_i - O_i)^2}{N}} \quad (5)$$

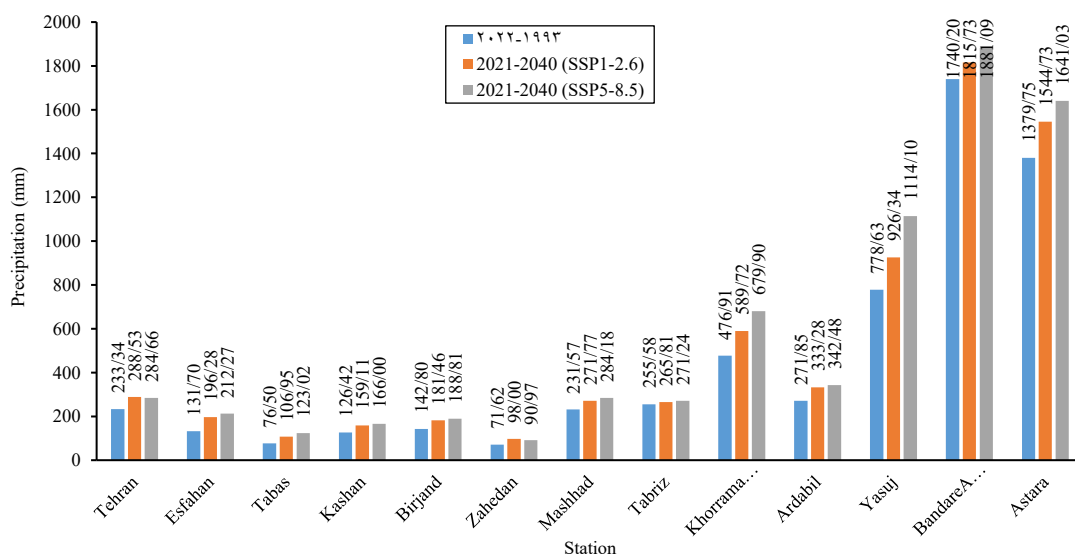
جدول ۲- نتایج ارزیابی عملکرد مدل Lars-WG در شبیه سازی متغیرهای اقلیمی ایستگاه های همدید ایران در دوره پایه (۱۹۹۳-۲۰۲۲)
 Table 2. The results of evaluating the performance of the Lars-WG model in the simulation of climatic variables of the synoptic stations in Iran in the base period (1993-2022)

دمای بیشینه (°C) Maximum temperature (°C)	دمای کمینه (°C) Minimum temperature (°C)	بارش (mm) Precipitation (mm)	معیار ارزیابی Evaluation criteria	ایستگاه همدید Synoptic station
0.99	0.99	0.99	r	آستارا
0.27	0.18	9.07	RMSE	Astara
0.99	0.99	0.99	r	بندر انزلی
0.31	0.24	16.29	RMSE	Bandar Anzali
0.99	0.99	0.99	r	یاسوج
0.22	0.20	7.56	RMSE	Yasuj
0.99	0.99	0.96	r	اردبیل
0.21	0.42	2.61	RMSE	Ardabil
0.99	0.99	0.99	r	خرم آباد
0.27	0.18	3.78	RMSE	Khorramabad
0.99	0.99	0.99	r	تبریز
0.26	0.24	2.40	RMSE	Tabriz
0.99	0.99	0.98	r	مشهد
0.14	0.30	4.62	RMSE	Mashhad
0.99	0.99	0.98	r	زاهدان
0.23	0.23	1.22	RMSE	Zahedan
0.99	0.99	0.99	r	بیرجند
0.32	0.32	1.66	RMSE	Birjand
0.99	0.99	0.98	r	کاشان
0.30	0.21	2.54	RMSE	Kashan
0.99	0.99	0.98	r	طس
0.25	0.29	1.27	RMSE	Tabas
0.99	0.99	0.93	r	اصفهان
0.24	0.22	3.44	RMSE	Esfahan
0.99	0.99	0.96	r	تهران
0.24	0.29	4.17	RMSE	Tehran

بررسی افزایش خواهد یافت. با پیش بینی متغیرهای اقلیمی همچون بارش علاوه بر مدیریت بهره برداری از منابع آب، می توان حوادث طبیعی نظیر سیل و خشکسالی را نیز پیش بینی و مهار کرد (Mohammadi & Allahverdipour, 2024). در تحقیق (Mousavi *et al.*, 2016) نیز مقدار بارش در نواحی مختلف ایران در دوره های آتی افزایشی گزارش شد. افزایش بارش در حوضه قزل اوزن نیز برای دوره آتی گزارش شده است (Sadeqi *et al.*, 2019). تحقیق فونگ و همکاران (Phuong *et al.*, 2024) در شهر هوچی مین در ویتنام با استفاده از سناریوهای گزارش CMIP6 نیز حاکی از افزایش بارش سالانه در آینده بود که با نتایج این مطالعه همخوانی دارد.

پیش بینی متغیرهای اقلیمی در دوره آتی (۲۰۲۰-۲۰۴۰)

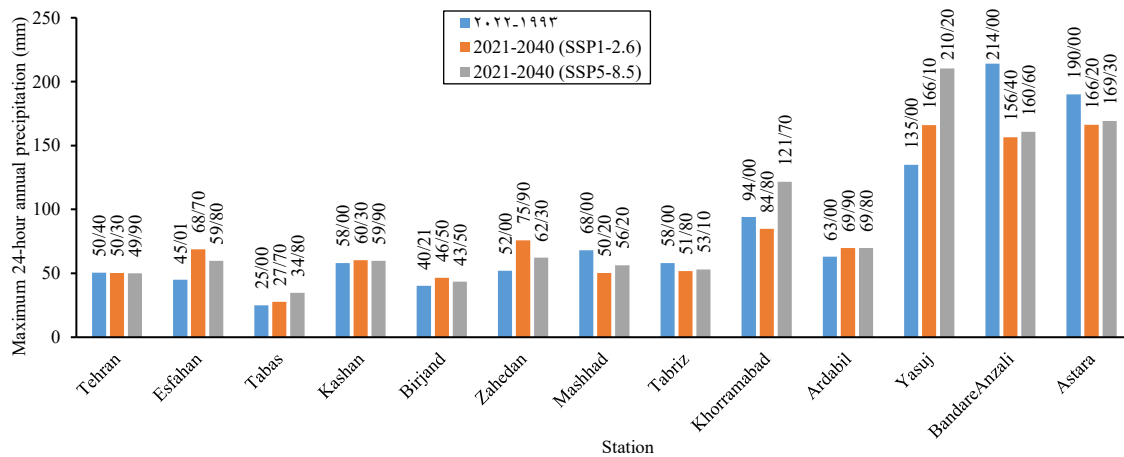
شکل ۳ میانگین بارش سالانه ایستگاه های مورد مطالعه در دوره پایه (۱۹۹۳-۲۰۲۲) و مقادیر پیش بینی شده برای دوره آینده (۲۰۲۰-۲۰۴۰) تحت سناریوهای SSP1-2.6 و SSP5-8.5 را نشان می دهد. میانگین بارش سالانه ایستگاه ها یکسان نیست و در دوره پایه از ۷۱/۶۲ میلی متر در ایستگاه زاهدان تا ۱۷۴۰/۲۰ میلی متر در بندر انزلی با اقلیم خشک تا ۸.۵ درصد افزایش بارش سالانه با اقلیم مرطوب متغیر است. بیشترین درصد افزایش بارش سالانه با ۶۱/۱۸ درصد افزایش نسبت به دوره پایه، در ایستگاه اصفهان و تحت سناریو SSP5-8.5 پیش بینی شد. در آینده، میانگین بارش سالانه در همه ایستگاه ها و تحت هر دو سناریو مورد



شکل ۳- میانگین بارش سالانه (میلی متر) ایستگاه های همدید ایران در دوره پایه (۱۹۹۳-۲۰۲۲) و آینده (۲۰۲۱-۲۰۴۰)
 Figure 3. Average annual precipitation (mm) of the synoptic stations in Iran in the base period (1993-2022) and future (2021-2040)

بندر انزلی است. نتایج تحقیق چان و همکاران (Chan et al., 2024) در هنگ کنگ نیز حاکی از افزایش حداکثر بارش ۲۴ ساعته سالانه در آینده بودند که با یافته‌های مطالعه حاضر تطابق دارد. نکته حائز اهمیت، کاهش حداکثر بارش ۲۴ ساعته سالانه در هر دو ایستگاهی است که در اقلیم بسیار مرطوب قرار دارند (بندر انزلی و آستارا). با توجه به افزایش میانگین بارش در همه ایستگاه‌ها، این موضوع نشان‌دهنده بهبود وضعیت توزیع بارش‌ها در طول سال است. از طرفی، در اکثر ایستگاه‌های همسایه با اقلیم خشک (پنج ایستگاه از بین هفت ایستگاه)، افزایش حداکثر بارش ۲۴ ساعته سالانه پیش‌بینی می‌شود. با توجه به این افزایش، در چنین مناطقی بارش‌های یک‌روزه سنگین انتظار می‌رود و برای مقابله با آن، مدیریت منابع آب قوی مورد نیاز است.

شکل ۴ مقادیر حداکثر بارش ۲۴ ساعته سالانه ایستگاه‌های مورد مطالعه در دوره پایه و پیش‌بینی شده برای دوره آینده تحت سناریوهای SSP1-2.6 و SSP5-8.5 را نشان می‌دهد. حداکثر بارش ۲۴ ساعته سالانه ایستگاه‌ها در دوره پایه از ۲۵ میلی‌متر در طبس تا ۲۱۴ میلی‌متر در بندر انزلی متغیر است. در دوره آتی، حداکثر بارش ۲۴ ساعته سالانه در ایستگاه‌های اصفهان، طبس، کاشان، بیرجند، زاهدان، اردبیل و یاسوج تحت هر دو سناریو و در ایستگاه خرم‌آباد تحت سناریو SSP5-8.5 افزایشی است. در ایستگاه‌های تهران، مشهد، تبریز، بندر انزلی و آستارا تحت هر دو سناریو و در خرم‌آباد تحت سناریو SSP1-2.6، کاهش حداکثر بارش ۲۴ ساعته سالانه پیش‌بینی می‌شود. بیشترین افزایش و کاهش نسبت به دوره پایه، به ترتیب با ۵۵/۷۰٪+ درصد افزایش در یاسوج و ۲۶/۹۲٪- درصد کاهش در



شکل ۴- حداکثر بارش ۲۴ ساعته سالانه ایستگاه‌های همسایه ایران تحت سناریوهای SSP1-2.6 و SSP5-8.5 در دوره پایه (۲۰۲۱-۲۰۴۰) و آینده (۱۹۹۳-۲۰۲۲)

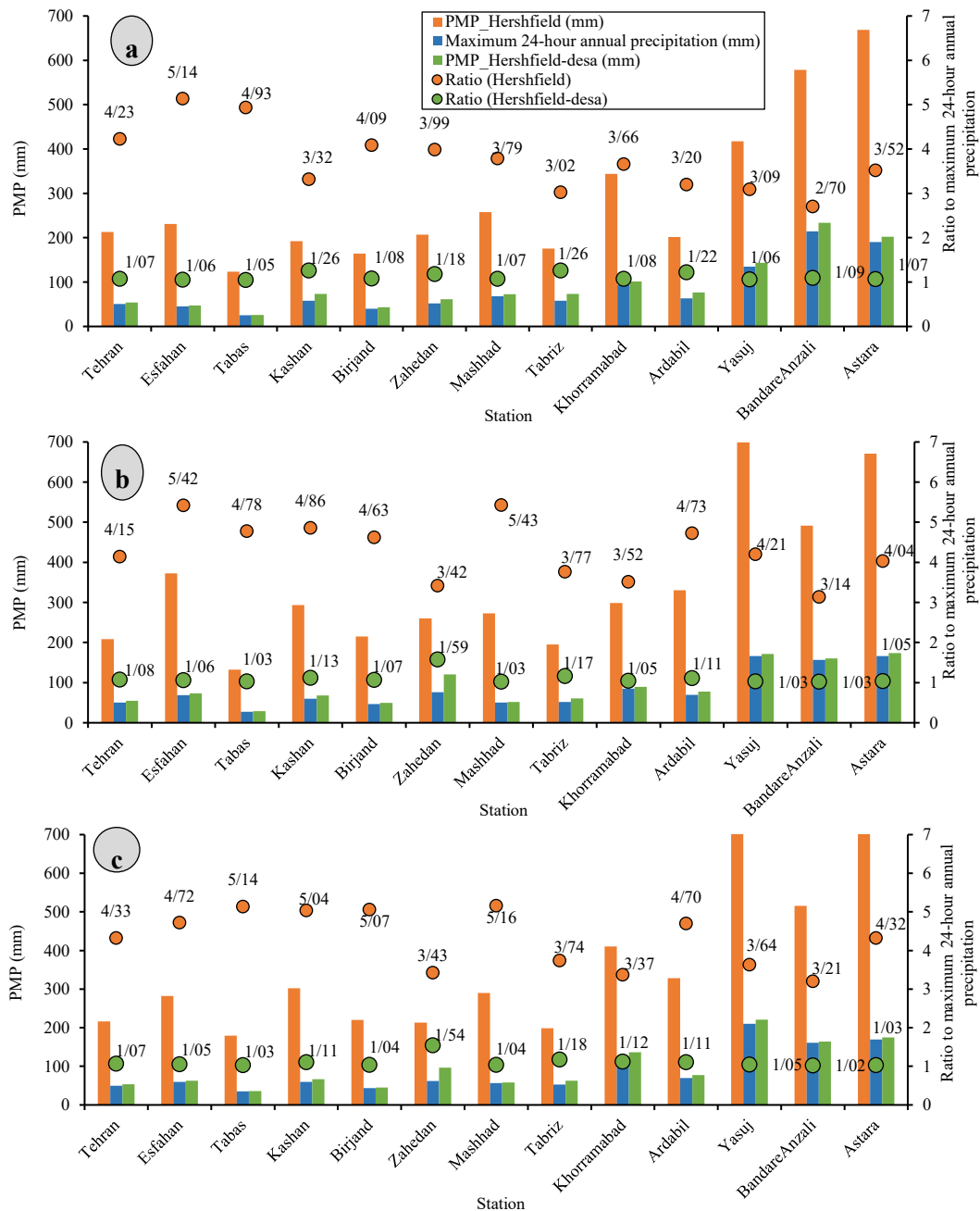
Figure 4. Maximum annual 24-hour precipitation (mm) of the synoptic stations in Iran under the SSP1-2.6 and SSP5-8.5 scenarios in the base period (1993-2022) and future (2021-2040)

مربوط به ایستگاه زاهدان با ۱/۵۴ است. مشاهده می‌شود که این نسبت در اقلیم‌های خشک و نیمه‌خشک، کمی بیشتر از اقلیم‌های مرطوب است. به طوری که طبق روش هرشفیلد تعمیم‌یافته، نسبت بالای پنج فقط در ایستگاه‌های خشک به‌دست آمده است.

نتایج نشان می‌دهند که بیشترین افزایش نسبت PMP به حداکثر بارش ۲۴ ساعته سالانه در آینده، متعلق به مشهد است که طبق روش هرشفیلد تعمیم‌یافته، این نسبت از ۳/۷۹ در دوره پایه به ۵/۴۳ تحت سناریو SSP1-2.6 در دوره ۲۰ساله آینده افزایش خواهد یافت. همچنین، طبق روش دسا فقط در زاهدان این نسبت (نسبت PMP به حداکثر بارش ۲۴ ساعته سالانه) بیش از ۱/۵ برابر است. این خود هشدار در قبال سیلاب‌های محتمل حاصل از این قبیل بارش‌ها است.

پیش‌بینی تأثیر تغییر اقلیم در آینده بر PMP ایستگاه‌های همسایه ایران

شکل ۵ مقدار PMP ایستگاه‌های همسایه ایران را به دو روش هرشفیلد تعمیم‌یافته و هرشفیلد-دسا و نسبت آن به حداکثر بارش ۲۴ ساعته در دوره‌های پایه (۱۹۹۳-۲۰۲۲) و آینده (۲۰۲۱-۲۰۴۰) نشان می‌دهد. بیشترین نسبت PMP به حداکثر بارش ۲۴ ساعته سالانه در دوره پایه، طبق روش هرشفیلد تعمیم‌یافته مربوط به ایستگاه اصفهان با ۵/۱۴ و طبق روش دسا مربوط به ایستگاه کاشان با نسبت ۱/۲۶ است. در دوره ۲۰ساله آینده و تحت سناریوی SSP1-2.6 نیز طبق روش هرشفیلد تعمیم‌یافته مربوط به ایستگاه مشهد با ۵/۴۳ و طبق روش دسا مربوط به زاهدان با ۱/۵۹ است. همچنین، در دوره ۲۰ساله آینده و تحت سناریو SSP5-8.5 طبق روش هرشفیلد تعمیم‌یافته مربوط به ایستگاه مشهد با ۵/۱۶ و طبق روش دسا



شکل ۵- مقدار PMP (میلی متر) و نسبت آن به حداکثر بارش ۲۴ ساعته در ایستگاه‌های همید ایران. a- در دوره پایه (۱۹۹۳-۲۰۲۲)، b- در دوره آینده (۲۰۲۱-۲۰۴۰) تحت سناریو SSP1-2.6، و c- در دوره آینده (۲۰۲۱-۲۰۴۰) تحت سناریو SSP5-8.5.

Figure 5. The value of PMP (mm) and its ratio to the maximum 24-hour precipitation at the synoptic stations in Iran. a- In the base period (1993-2022), b- in the future period (2021-2040) under the SSP1-2.6 scenario, and c- in the future period (2021-2040) under the SSP5-8.5 scenario.

تعمیم یافته، این نسبت در محدوده $۲/۷۰-۵/۴۳$ برای ایستگاه‌های مختلف متغیر است. این نتیجه با یافته‌های فتاحی و حبیبی (Fattahi & Habibi, 2022) مطابقت دارد. مقادیر این نسبت‌ها، به دلیل بیش‌برآورد K_m در روش هرشفیلد، تعمیم یافته هستند که این ضعف در روش دسا رفع شده است (جدول ۳).

در همه ایستگاه‌ها و در هر دو دوره پایه و آینده، مقدار PMP طبق روش هرشفیلد تعمیم یافته زیاد و به مراتب بیشتر از روش اصلاحی دسا برآورد شده است که نامعقول به نظر می‌رسد. در همه ایستگاه‌ها در دوره پایه و تحت هر دو سناریو برای دوره آینده، نسبت PMP برآورد شده به حداکثر بارش ۲۴ ساعته سالانه طبق روش اصلاحی دسا در محدوده $۱/۰۲-۱/۵۹$ قرار دارد و مورد انتظار است. درحالی که در روش هرشفیلد

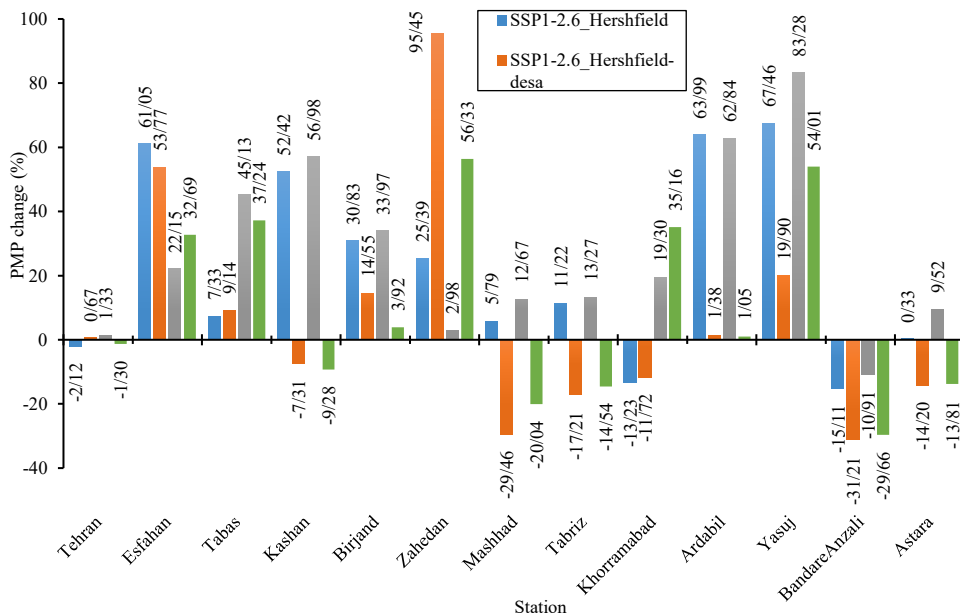
جدول ۳- مقادیر K_m ایستگاه‌های هم‌مدید ایران در دوره پایه (۱۹۹۳-۲۰۲۲) و آینده (۲۰۲۱-۲۰۴۰)

Table 3. K_m values of synoptic stations in Iran the base period (1993-2022) and the future (2021-2040)

Station	1993-2022		2021-2040 (SSP1-2.6)		2021-2040 (SSP5-8.5)	
	K_m (Generalized Hershfield)	K_m (Hershfield-Desa)	K_m (Generalized Hershfield)	K_m (Hershfield-Desa)	K_m (Generalized Hershfield)	K_m (Hershfield-Desa)
Tehran	18.5	2.89	18.5	2.68	18.5	2.46
Esfahan	19	2.41	18.2	2.14	18.2	2.16
Tabas	19.5	2.33	19.0	1.79	18.8	1.73
Kashan	19	5.11	18.5	2.91	18.5	2.70
Birjand	19	3.04	18.5	2.40	18.5	1.84
Zahedan	19	4.13	19.0	6.47	19.1	6.31
Mashhad	18	2.97	18.2	1.50	18.2	1.80
Tabriz	19	5.36	18.6	3.67	18.6	3.74
Khorramabad	17.5	3.02	17.1	2.39	16.7	3.32
Ardabil	18.5	4.83	18.2	2.81	18.2	2.80
Yasuj	16	2.95	15.0	1.77	14	2.13
Bandar Anzali	14.5	3.45	14.9	1.87	14.5	1.72
Astara	15.5	2.80	15.1	2.00	15	1.66

PMP در آینده نسبت به دوره پایه پیش‌بینی شد که با یافته‌های این مطالعه هم‌راستا است. کاهش PMP تحت هر دو سناریو و طبق هر دو روش هرشفیلد تعمیم‌یافته و هرشفیلد-دسا، فقط در بندر انزلی خواهد بود. به طوری که بیشترین کاهش با $31/21$ - نسبت به دوره پایه، تحت سناریو SSP1-2.6 و طبق روش هرشفیلد-دسا در این ایستگاه پیش‌بینی می‌شود. به جز تهران که کمترین درصد تغییرات تحت سناریوهای مختلف را دارد، درصد تغییرات PMP در آینده در اکثر اقلیم‌های خشک و نیمه‌خشک بیشتر از اقلیم‌های مرطوب خواهد بود.

شکل ۶ درصد تغییرات PMP ایستگاه‌ها را در آینده نسبت به دوره پایه، تحت دو سناریو و طبق هر دو روش هرشفیلد تعمیم‌یافته و هرشفیلد-دسا نشان می‌دهد. مقادیر PMP در اکثر ایستگاه‌های ایران افزایش خواهند یافت. بیشترین افزایش با $95/45$ درصد در زاهدان تحت سناریو SSP1-2.6 و طبق روش هرشفیلد-دسا پیش‌بینی می‌شود. در تحقیقات مشابه مثلاً یونگ و همکاران (Xiong *et al.*, 2024) در کشور چین و چان و همکاران (Chan *et al.*, 2024) در هنگ‌کنگ که هر دو تحقیق با استفاده از گزارش CMIP6 انجام شدند، افزایش



شکل ۶- درصد تغییرات PMP در آینده (۲۰۲۱-۲۰۴۰) نسبت به دوره پایه (۱۹۹۳-۲۰۲۲) در ایستگاه‌های هم‌مدید ایران
Figure 6. The percentage of PMP changes in the future (2040-2021) compared to the base period (1993-2022) at the synoptic stations in Iran

نتیجه‌گیری کلی

در این تحقیق، اثر تغییر اقلیم بر مقادیر PMP سیزده ایستگاه همدید ایران، با استفاده از گزارش CMIP6 شامل سناریوهای SSP1-2.6 و SSP5-8.5 و مدل HadGEM3-GC31-LL پیش‌بینی شد. نتایج نشان می‌دهند که میانگین بارش سالانه در همه ایستگاه‌ها و تحت هر دو سناریو افزایشی خواهد بود. بیشترین درصد افزایش نسبت به دوره پایه، متعلق به اصفهان تحت سناریو SSP5-8.5 پیش‌بینی می‌شود. با وجود این که تأثیر تغییر اقلیم بر میانگین بارش سالانه در همه ایستگاه‌ها افزایشی است، باید از نحوه توزیع بارش در طول سال غافل نماند. این مطالعه نشان می‌دهد که حداکثر بارش ۲۴ ساعته سالانه در ایستگاه‌های همدید اصفهان، طمس، کاشان، بیرجند، زاهدان، اردبیل و یاسوج تحت هر دو سناریو و در خرم‌آباد تحت سناریو SSP5-8.5 نسبت به دوره پایه افزایش خواهد یافت. همچنین در تهران، مشهد، تبریز، بندر انزلی و آستارا تحت هر دو سناریو و در ایستگاه خرم‌آباد تحت سناریو SSP1-2.6 کاهش حداکثر بارش ۲۴ ساعته سالانه پیش‌بینی می‌شود. بیشترین افزایش و کاهش نسبت به دوره پایه به ترتیب در یاسوج و بندر انزلی خواهند بود. کاهش حداکثر بارش ۲۴ ساعته سالانه در بندر انزلی و آستارا با اقلیم بسیار مرطوب، باتوجه به پیش‌بینی افزایش میانگین بارش، نشان‌دهنده بهبود توزیع بارش‌ها در طول سال است. از طرفی، در اکثر ایستگاه‌های با اقلیم خشک (پنج ایستگاه از بین هفت ایستگاه)، افزایش حداکثر بارش ۲۴ ساعته سالانه پیش‌بینی می‌شود. بیشترین نسبت PMP به حداکثر بارش ۲۴ ساعته سالانه در ایستگاه‌های با اقلیم خشک است. طبق روش هرشفیلد، نسبت بالای ۵ فقط

در ایستگاه‌های با اقلیم خشک به دست آمد و پیش‌بینی می‌شود که بیشترین نسبت در آینده طبق روش دسا، متعلق به ایستگاه زاهدان با اقلیم خشک خواهد بود. بیشترین افزایش این نسبت نیز در مشهد با اقلیم خشک دیده شد. به نظر می‌رسد که پیامدهای تغییر اقلیم در اقلیم‌های خشک، مخرب‌تر و خسارت‌بارتر باشد و توجه به مدیریت سیل در این مناطق ضروری است.

مقدار PMP طبق روش هرشفیلد تعیین یافته در همه ایستگاه‌ها و در هر دو دوره پایه و آینده، زیاد و به مراتب بیشتر از روش اصلاحی دسا برآورد شد. ولی مقادیر برآورد شده با روش اصلاحی دسا واقعی‌تر به نظر می‌رسد. علت این موضوع، برآورد مقدار عامل فرکانس (K_m) بالا در روش هرشفیلد تعیین یافته است که در روش دسا تصحیح شده است.

مطابق با نتایج، مقدار PMP در اکثر ایستگاه‌های همدید ایران افزایش خواهد یافت. بیشترین افزایش در زاهدان تحت سناریو SSP1-2.6 و کاهش PMP تحت هر دو سناریو، فقط در ایستگاه بندر انزلی پیش‌بینی می‌شود. همچنین، به جز تهران که کمترین درصد تغییرات PMP تحت سناریوهای مختلف را خواهد داشت، درصد تغییرات PMP در آینده در اکثر اقلیم‌های خشک و نیمه‌خشک بیشتر از اقلیم‌های مرطوب خواهد بود. نتایج تحقیق حاضر می‌توانند در مدیریت منابع آب ایران کاربردی باشند.

تشکر و قدردانی

نویسندگان این مقاله از سازمان هواشناسی ایران به‌خاطر مساعدت در ارائه داده‌های موردنیاز سپاسگزاری می‌نمایند.

References

- Afrooz, H., Akbari, H., Rakhshandehroo, G.R., & Pourtouserkani, A. (2015). Climate change impact on probable maximum precipitation in Chenar-Rahdar River basin. Watershed Management Symposium, Virginia, USA. doi: 10.1061/9780784479322.004
- Afzali-Gorouh, Z., Faridhosseini, A., Bakhtiari, B., Mosaedi, A., & Salehnia, N. (2022). Monitoring and projection of climate change impact on 24-h probable maximum precipitation in the Southeast of Caspian Sea. *Natural Hazards*, 114(1), 77-99. doi: 10.1007/s11069-022-05380-1
- Akbari, G., Lotfi, I., & Nejatbakhsh, M. (2023). Statistical estimation of the maximum possible 24-hour rainfall in the Bakhtegan catchment area. *Extension and Development of Watershed Management*, 11(42), 60-70. doi: 10.22034/wmji.2023.710724 [In Persian]
- Allahverdipour, P., & Sattari, M. T. (2023). Comparing the performance of the multiple linear regression classic method and modern data mining methods in annual rainfall modeling (Case study: Ahvaz city). *Water and Soil Management and Modelling*, 3(2), 125-142. doi: 10.22098/mmws.2022.11337.1120 [In Persian]
- Allahverdipour, P., Ghorbani, M. A., & Asadi, E. (2024). Evaluating the effects of climate change on the climatic classification in Iran. *Water and Soil Management and Modelling*, 4(3), 95-112. doi: 10.22098/mmws.2023.12755.1271 [In Persian]
- Bakhtiari, B., Jahandideh, Z., & Qaderi, K. (2017). Derivation of Depth-Area-Duration curves for estimating areal Probable Maximum Precipitation in Fars province. *Iran-Water Resources Research*, 13(2), 199-206. [In Persian]
- Bari, S. H. (2021). Estimating probable maximum precipitation for Bangladesh. *International Journal of Hydrology Science and Technology*, 11(4), 415-421. doi: 10.1504/IJHST.2021.115489
- Bethlahmy, N. (1984). Long-term Hydrologic Events from Short-term Records. *Journal of Hydrology*, 68(1-4), 141-148. doi: 10.1016/0022-1694(84)90208-7
- Chan, S. S., Li, J., & Lee, T. C. (2024). Estimation of probable maximum precipitation (PMP) in Hong Kong under future changing climate based on statistical downscaling. *Urban Climate*, 55, 101988. doi: 10.1016/j.uclim.2024.101988

- Chen, H. P., Sun, J. Q., & Li, H. X., (2017). Future changes in precipitation extremes over China using the NEX-GDDP high-resolution daily downscaled data-set. *Atmospheric and Oceanic Science Letters*, 10(6), 403-410. doi: 10.1080/16742834.2017.1367625.
- Chow, V. T. (1951). A general formula for hydrologic frequency analysis. *Transactions American Geophysical Union*, 32(2), 231-237. doi: 10.1029/TR032i002p00231
- Clark, C., & Dent, J. (2021). New estimates of 24-hour probable maximum precipitation (PMP) for the British Isles. *Journal of Geoscience and Environment Protection*, 9(7), 209-228. doi: 10.4236/gep.2021.97014
- Desa, M. N., Noriah, A. B., & Rakhecha, P. R. (2001). Probable maximum precipitation for 24 h duration over Southeast Asia monsoon region-Selangor, Malaysia. *Atmospheric Research*, 58(1), 41-54. doi: 10.1016/S0169-8095(01)00070-9
- Eliason, J. (1997). A Statistical model for extreme precipitation. *Water Resources Research*, 33(3), 449-455. doi: 10.1029/96WR03531
- Farmanara, S. M., & Bakhtiari, B. (2020). Evaluation of two physical and statistical approaches in probable maximum precipitation estimation in Bushehr province. *Iranian Journal of Irrigation & Drainage*, 13(6), 1612-1622. [In Persian]
- Fattahi, E., & Habibi, M. (2022). Estimation of probable maximum precipitation 24-h (PMP 24-h) through statistical methods over Iran. *Water Supply*, 22(8), 6543-6557. doi: 10.2166/ws.2022.281
- Frame, B., Lawrence, J., Ausseil, A. G., Reisinger, A., & Daigneault, A. (2018). Adapting global shared socio-economic pathways for national and local scenarios. *Climate Risk Management*, 21, 39-51. doi: 10.1016/j.crm.2018.05.001
- Ghahraman, B., Hossein-Poor Tehrani, M., Farahi, G., & Davari, K. (2011). A comparative study for determination of PMP by some statistical methods in Atrak watershed, Iran. *Iran-Water Resources Research*, 7(2), 61-70. [In Persian]
- Hasanpour Kashani, M., Dinpashoh, Y. (2012). Evaluation of efficiency of different estimation methods for missing climatological data. *Stochastic Environmental Research and Risk Assessment*, 26, 59-71. doi: 10.1007/s00477-011-0536-y
- Hershfield, D. M. (1961). Estimating the probable maximum precipitation. *Journal of the Hydraulics Division*, 87(5), 99-116. doi: 10.1061/JYCEAJ.0000651
- Hussain, M., Nadya, S., & Chia, F. J. (2014). Estimating probable maximum precipitation for Linau river basin in Sarawak. *Journal of Civil Engineering, Science and Technology*, 5(3), 1-5. doi: 10.33736/jcest.138.2014
- Kim, S., Sharma, A., Wasko, C., & Nathan, R. (2022). Linking total precipitable water to precipitation extremes globally. *Earths Future*, 10, e2021EF002473. doi: 10.1029/2021EF002473
- Kunkel, K.E., Karl, T.R., Easterling, D.R., Redmond, K., Young, J., Yin, X., & Hennon, P. (2013). Probable maximum precipitation and climate change. *Geophysical Research Letters*, 40(7), 1402-1408. doi: 10.1002/grl.50334.
- Lee, O., Park, Y., Kim, E.S., & Kim, S., (2016). Projection of Korean probable maximum precipitation under future climate change scenarios. *Advances in Meteorology*, 3818236. doi: 10.1155/2016/3818236
- Lin, P., He, Z., Du, J., Chen, L., Zhu, X., & Li, J. (2018). Impacts of climate change on reference evapotranspiration in the Qilian Mountains of China: Historical trends and projected changes. *International Journal of Climatology*, 38(7), 2980-2993. doi: 10.1002/joc.5477
- Mohammadi, M., & Allahverdipour, P. (2024). Uncertainty analysis of artificial neural network (ANN) and support vector machine (SVM) models in predicting monthly river flow (Case study: Ghezeloan River). *Water and Soil Management and Modelling*, 4(2), 311-326. doi: 10.22098/mmws.2023.12702.1267 [In Persian]
- Monjezi, S., Gandomkar, A., Zarei, H., & Abbasi, A. (2023). Estimation of probable maximum precipitation under climate change in Parsian basin. *Irrigation Sciences and Engineering*, 45(4), 31-48. doi: 10.22055/jise.2019.29703.1848 [In Persian]
- Mousavi, S. S., Karandish, F., & Tabari, H. (2016). Temporal and spatial variation of rainfall in Iran under climate change until 2100. *Irrigation and Water Engineering*, 7(1), 152-165. [In Persian]
- Phuong, D. N. D., Vu, N. D., & Loi, N. K. (2024). Historical trends and future projections of annual rainfall from CMIP6 models in Ho Chi Minh City, Vietnam. *Climate Research*, 92, 97-115. doi: 10.3354/cr01736
- Racsko, P., Szeidl, L., & Semenov, M. (1991). A serial approach to local stochastic weather models. *Ecological Modelling*, 57(1-2), 27-41. doi: 10.1016/0304-3800(91)90053-4
- Rastogi, D., Kao, S. C., Ashfaq, M., Mei, R., Kabela, E. D., Gangrade, S., Naz, B. S., Preston, B. L., Singh, N., & Anantharaj, V.G. (2017). Effects of climate change on probable maximum precipitation: A sensitivity study over the Alabama-Coosa-Tallapoosa River Basin. *Journal of Geophysical Research: Atmospheres*, 122(9), 4808-4828. doi: 10.1002/2016JD026001
- Sarkar, S., & Maity, R. (2020). High-resolution one-day probable maximum precipitation dataset across India and its future-projected changes over India. *Data in Brief*, 30, 105525. doi: 10.1016/j.dib.2020.105525

- Sadeqi, A., Dinpashoh, Y., & Zarghami, M. (2019). Projection and spatial analysis of agroclimatic indices in Ghezel Ozan River basin during the growing season. *Water and Soil Resources Conservation*, 9(1), 139-162 (In Persian).
- Semenov, M. A., Brooks, R. J., Barrow, E. M., & Richardson, C. W. (1998). Comparison of the WGEN and LARS-WG stochastic weather generators for diverse climates. *Climate Research*, 10(2), 95-107. doi: 10.3354/cr010095
- Shafiee, M., & Ghahraman, B. (2009). Investigation of spatial variation of 24-hour PMP in Ghareghoom basin. *Iranian Journal of Irrigation and Drainage*, 3(2), 50-59. [In Persian]
- Thuy, L. T., Kawagoe, S., & Sarukkalige, R. (2019). Estimation of probable maximum precipitation at three provinces in Northeast Vietnam using historical data and future climate change scenarios. *Journal of Hydrology: Regional Studies*, 23, 100599. doi: 10.1016/j.ejrh.2019.100599
- Visser, J. B., Kim, S., Wasko, C., Nathan, R., & Sharma, A. (2022). The impact of climate change on operational probable maximum precipitation estimates. *Water Resources Research*, 58(11), e2022WR032247. doi: 10.1029/2022WR032247
- Wilby, R. L., & Harris, I. (2006). A framework for assessing uncertainties in climate change impacts: low flow scenarios for the River Thames, UK. *Water Resources Research*, 42(2), W02419. doi: 10.1029/2005WR004065
- World Meteorological Organization (WMO). (1986). Manual for Estimation of Probable Maximum Precipitation (PMP), 2nd edition, 298p. World Meteorological Organization, Geneva.
- Xiong, J., Guo, S., Abhishek, Yin, J., Xu, C., Wang, J., & Guo, J. (2024). Variation and attribution of probable maximum precipitation of China using a high-resolution dataset in a changing climate. *Hydrology and Earth System Sciences*, 28(8), 1873-1895. doi: 10.5194/hess-28-1873-2024